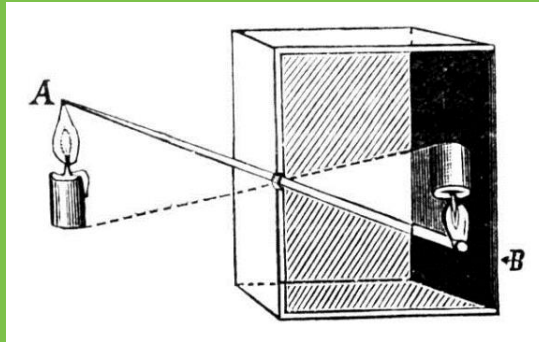


# Visual Computing

## – Kamera & Graphik-Pipeline

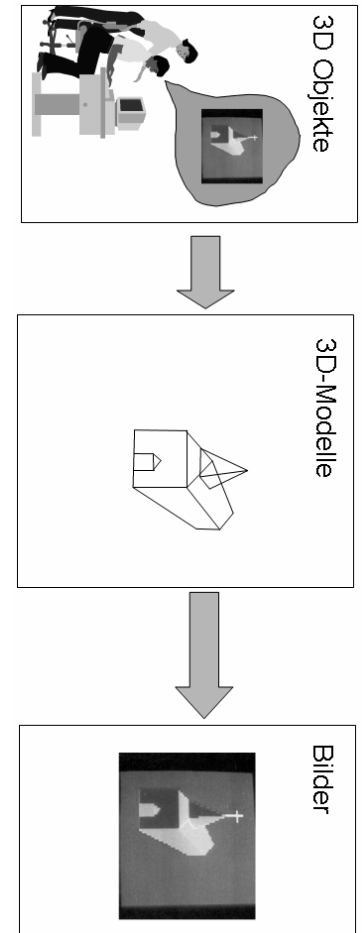


Yvonne Jung

# 3D-Graphik-Pipeline

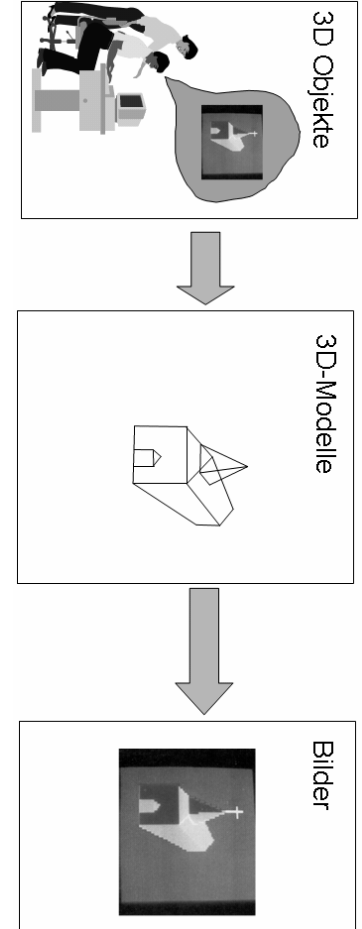
- Anwendungsebene
  - Repräsentation von 3D-Daten
    - Graphische Primitive
    - Lage im 3D-Raum
    - Räumliche Datenstrukturen
  - Animationen
- Geometrieverarbeitung
- Rasterisierung
- Ausgabe

Typischerweise in  
sog. Szenengraph  
o.ä. organisiert



# 3D-Graphik-Pipeline

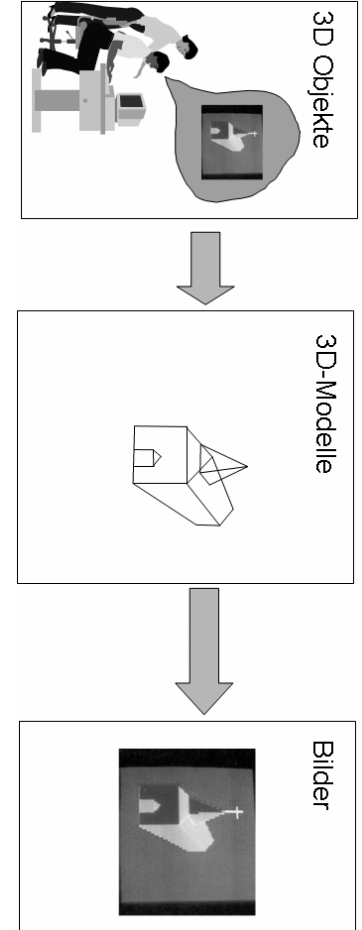
- Anwendungsebene
- Geometrieverarbeitung
  - 3D-Transformationen
    - Von Objekt- zu Kamerakoordinaten
  - Projektion
  - Clipping
  - Beleuchtungssimulation
- Rasterisierung
- Ausgabe



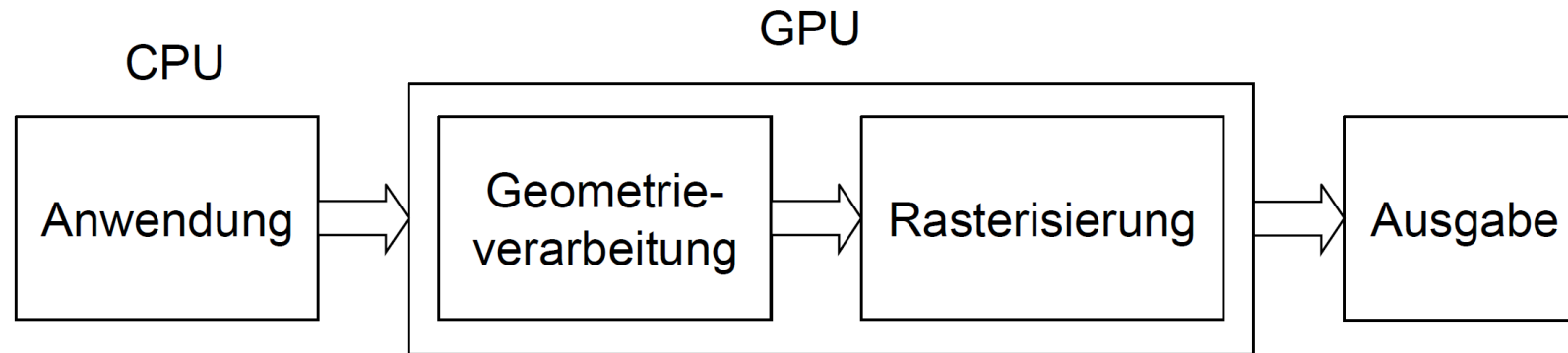
# 3D-Graphik-Pipeline

- Anwendungsebene
- Geometrieverarbeitung
- Rasterisierung
  - Scankonvertierung
  - Farbwertinterpolation
  - Texturierung
  - Tiefentest/Verdeckung
- Ausgabe
  - Monitor u.ä.

Geschieht auf  
Graphikkarte

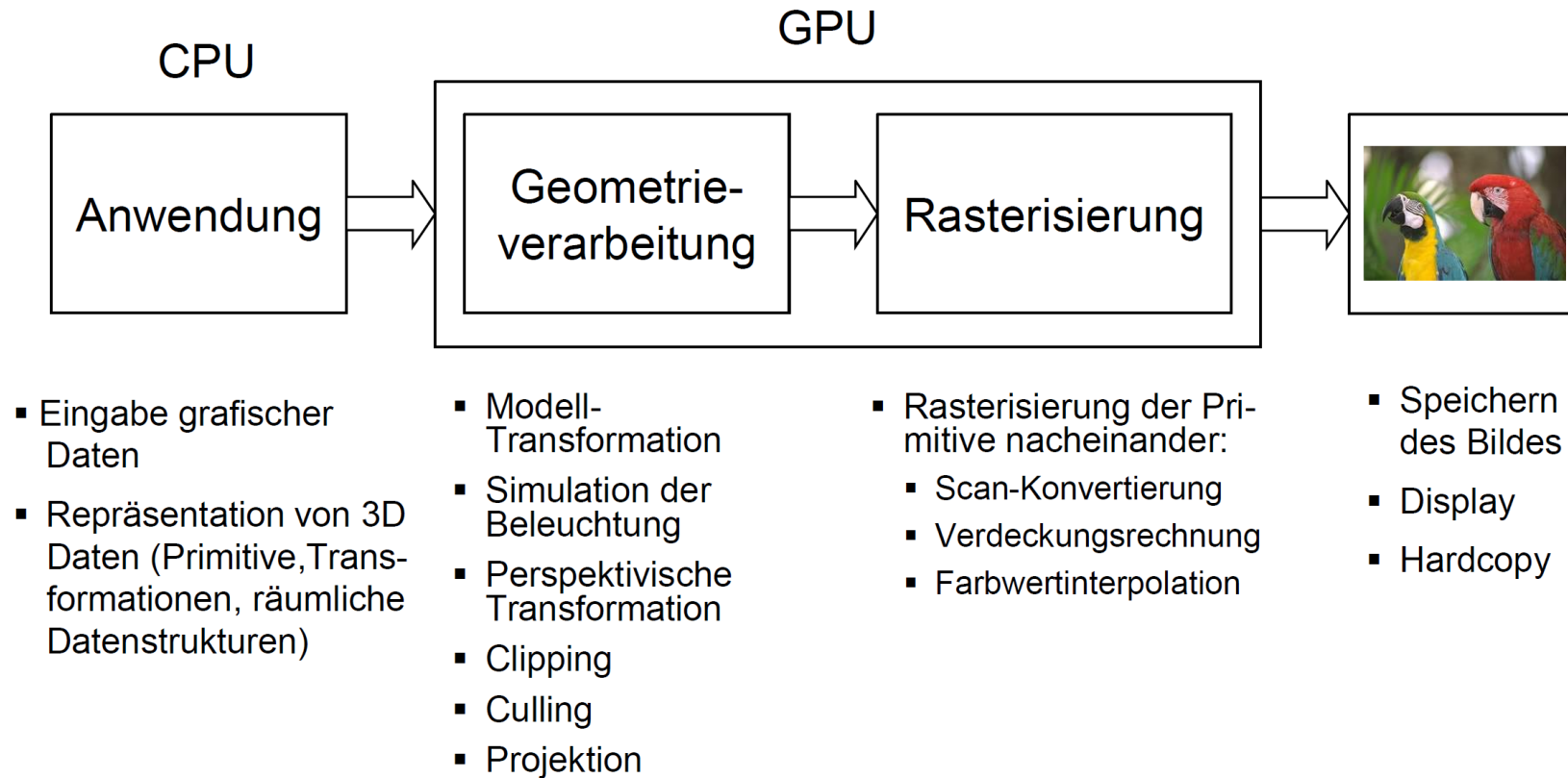


# 3D-Graphik-Pipeline



- Drei Hauptstufen: Anwendung (CPU), Geometrie, Rasterisierung (GPU)
- **Anwendungsebene:** Repräsentation der 3D-Daten (z.B. als Szenengraph), Kollisionsbehandlung, Viewfrustum-Culling, ...
- **Geometriestufe:** Modell-/ Kameratransformation, Projektion, Clipping, ...
- **Rasterisierung:** Triangle-Setup, Scankonvertierung, Pixel-Shading (z.B. Texturierung), Per-Fragment Operationen (z.B. Depth-Test, Blending)

# 3D-Graphik-Pipeline



- Application Code
  - Wichtige Eingangsdaten: Kamera, Lichter, Drawables
- High-Level Graphiksystem behandelt Drawables (Geometrie mit Material und Transformationen) sowie Frustum Culling
  - Dabei Aufbau einer „Draw List“ (wird an Low-Level Graphiksystem übergeben)
- Anzeige des fertigen Bildes

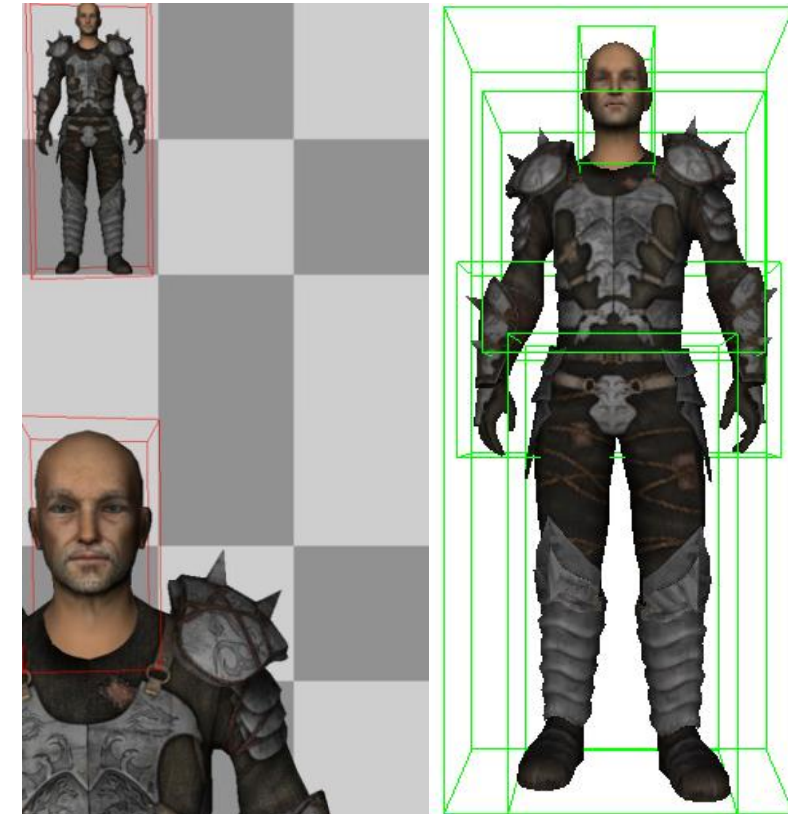


# Virtuelle Kamera

Kamera def. Blickpunkt (z.B. First Person Shooter)

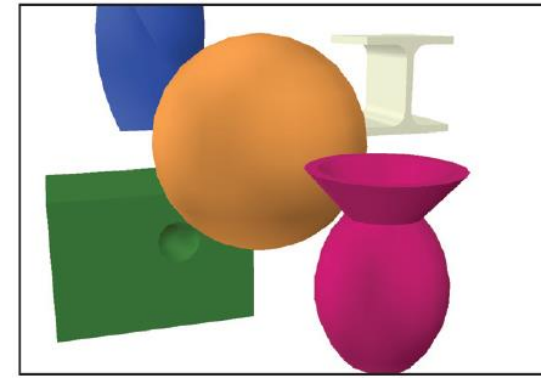
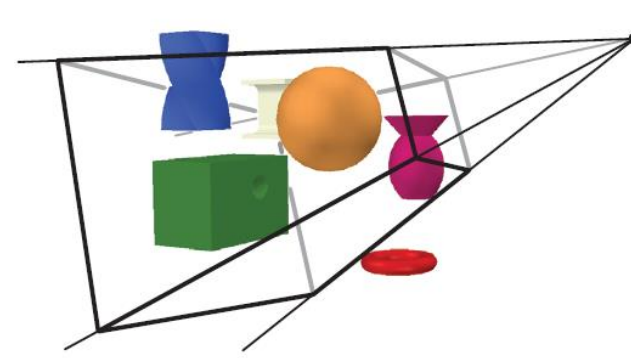
Third Person View

Cinematographische Ansätze



Linkes und mittleres Bild entnommen aus "Left for Dead 2"

# Problemstellung

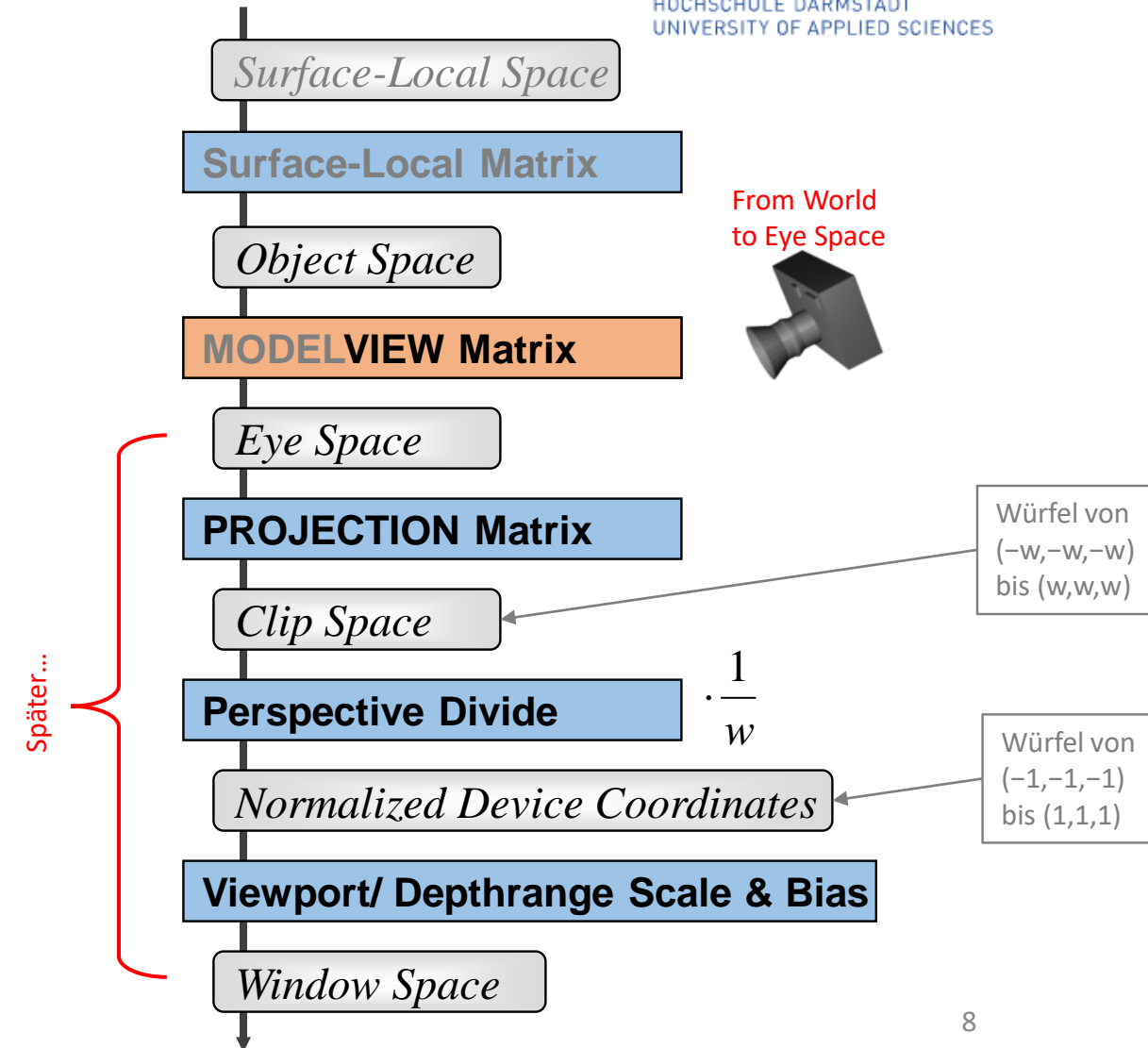
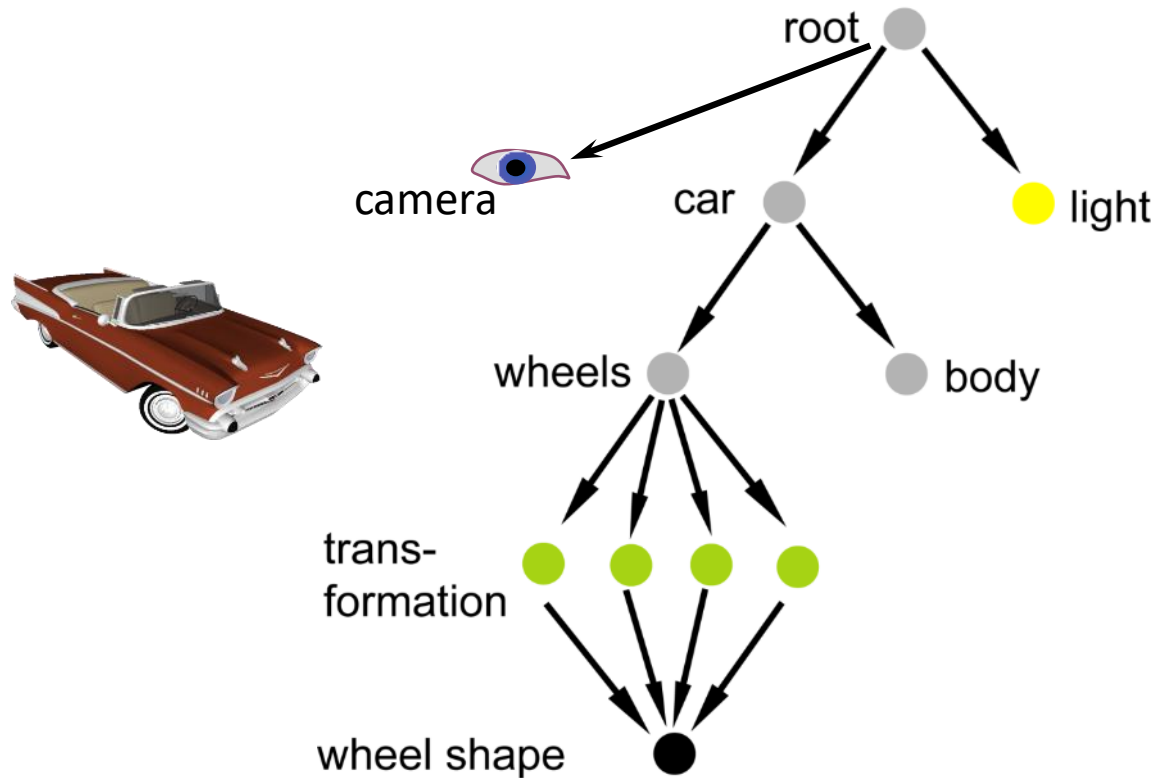


- 3D-Welt auf 2D-Bildebene abbilden
  - Vor.: 3D-Objekte bereits in Weltkoordinaten transformiert (mit Model-Matrix)
- Lösung: Kameratransformationen
  - Zunächst Transformation von Welt- in Kamerakoordinaten (mit View-Matrix)
  - Dann Projektion auf Bildebene (mit Transformation auf gewählten Viewport)
    - Erst von View/Eye Space (d.h. Kamerakoordinaten) zu Clip Space (mit Projection-Matrix)
      - Beinhaltet neben Projektion i.d.R. perspektivische Abbildung
      - Daher keine affine Abbildung (Parallelität bleibt i.A. nicht erhalten)
    - Nun von Clip Space zu Normalized Device Coordinates (NDC)
      - Geschieht mit Hilfe des sog. "Perspective Divides" (durch Division durch  $w$ )
    - Von NDC zum sog. Window Space (d.h. zum eigentlichen Viewport)



# Koordinatentransformationen im 3D

Umrechnung in Kamerakoordinaten



# View Matrix

- Kameramatrix  $C$  definiert Position und Orientierung der Kamera in Weltkoordinaten
  - View Matrix ist Inverse der Kameramatrix:  $V = C^{-1}$
- Navigation (z.B. Fly) bedeutet Manipulation der Kameramatrix  $C$  (mit  $C = T \cdot R$ )
  - Positionsänderungen durch Translation  $T$
  - Orientierungsänderungen durch Rotation  $R$
- Modelview-Matrix:  $p' = V \cdot M \cdot p$

**View-Matrix:**

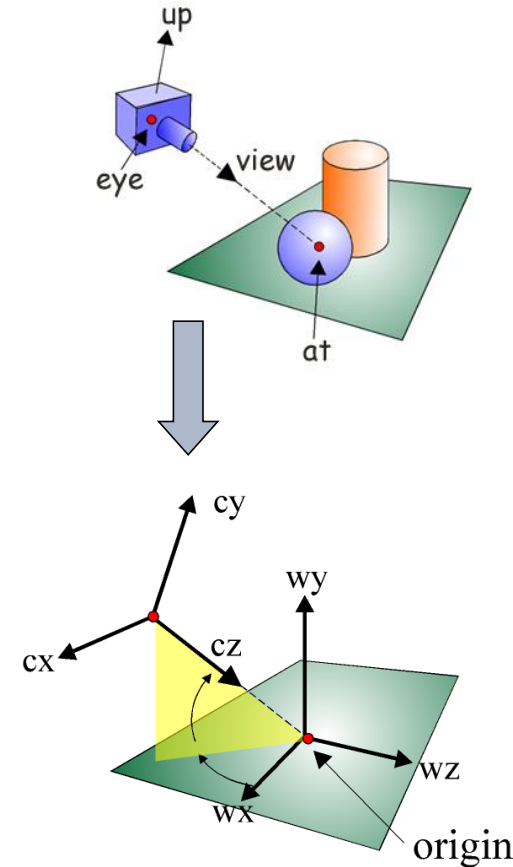
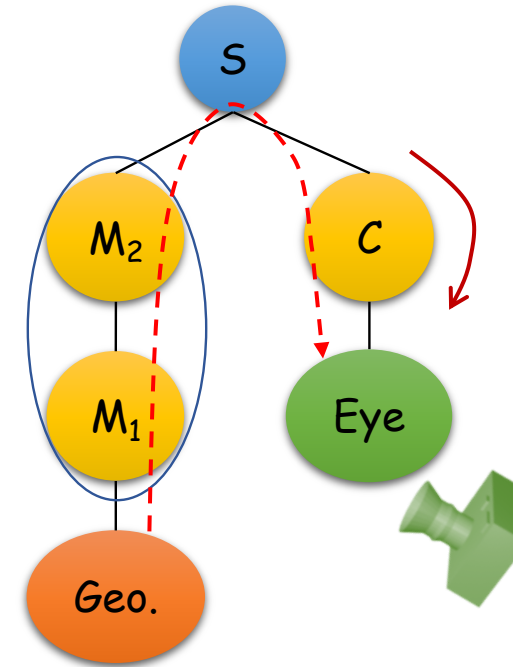
$$V = C^{-1} = (T \cdot R)^{-1}$$

Transformiert Welt in kameralokale Koordinaten (Kamera im Ursprung, schaut entlang negativer z-Achse)

**Model-Matrix:**

$$M = M_2 \cdot M_1$$

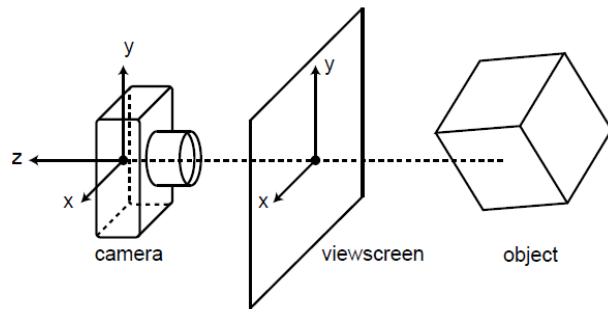
Akkumulierte Transformationen, positioniert 3D-Objekte in Welt



$$(T \cdot R)^{-1} = R^{-1} \cdot T^{-1}$$

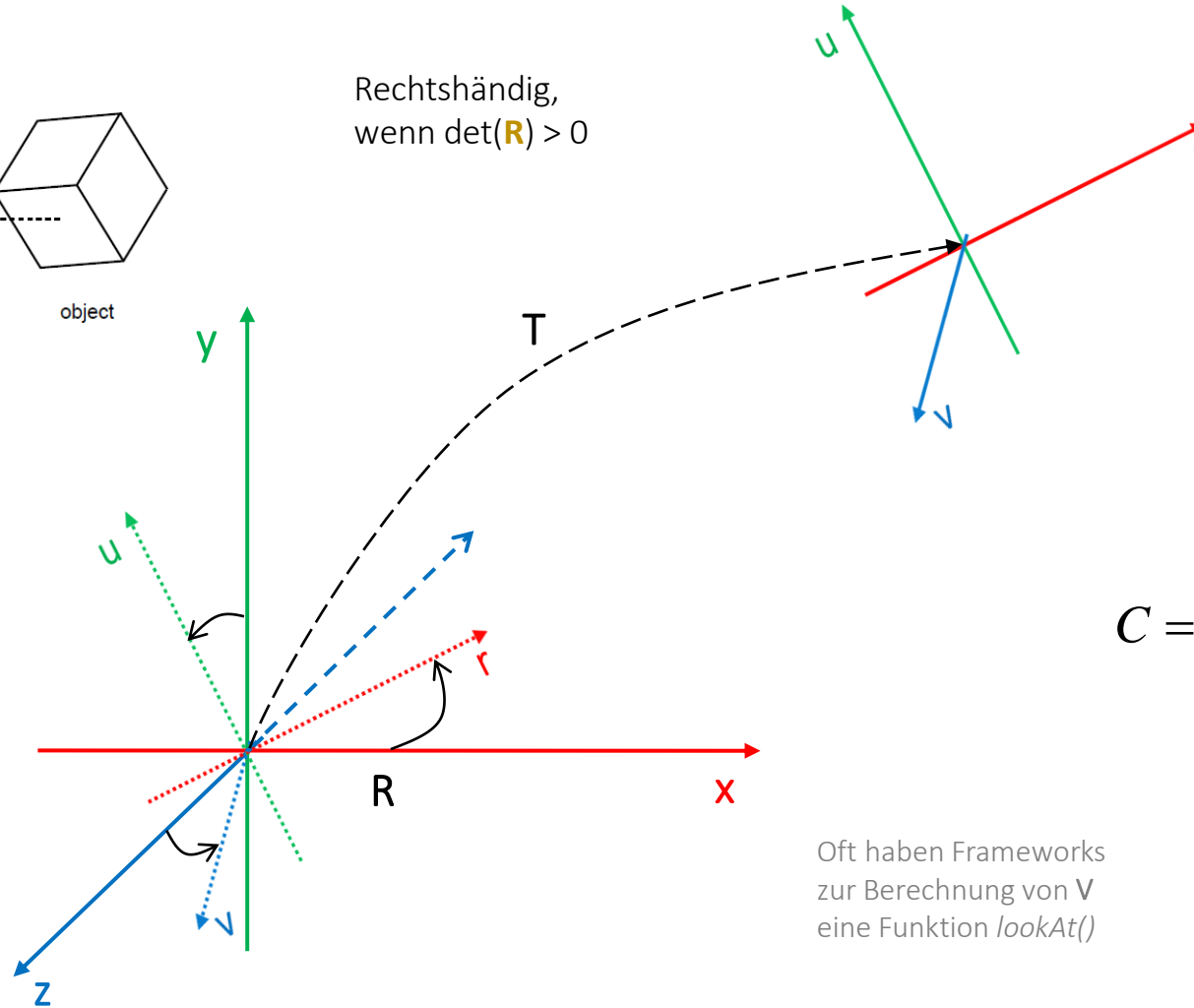
$$\stackrel{R \text{ orthog.}}{=} R^T \cdot T_t^{-1} = R^T \cdot T_{-t}$$

# Matrix definiert Koordinatensystem



Im View/Eye Space schaut Kamera von Nullpunkt entlang negativer z-Achse

Rechtshändig, wenn  $\det(\mathbf{R}) > 0$



Die Transformation der Szene wird wieder als Matrixmultiplikation ausgedrückt mit  $V = C^{-1}$

Linke, obere 3x3-Matrix beinhaltet typischerweise Rotation  $R$   
Spaltenvektoren stehen je zu einander senkrecht und sind auf 1 normiert

Orthonormal-Basis des  $\mathbb{R}^3$

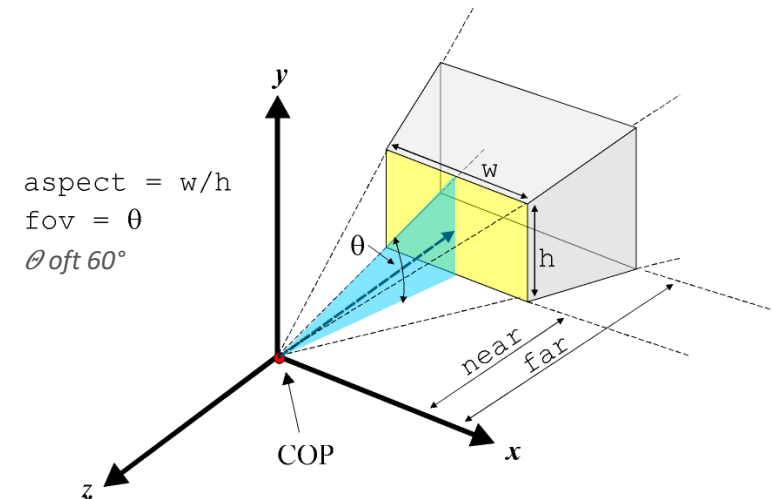
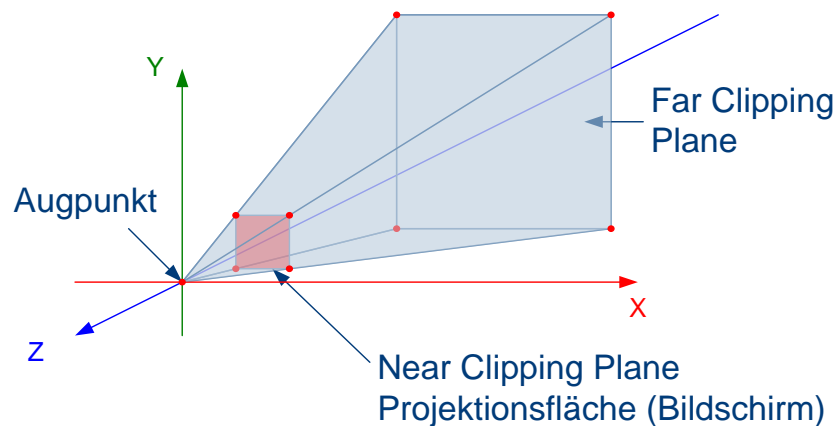
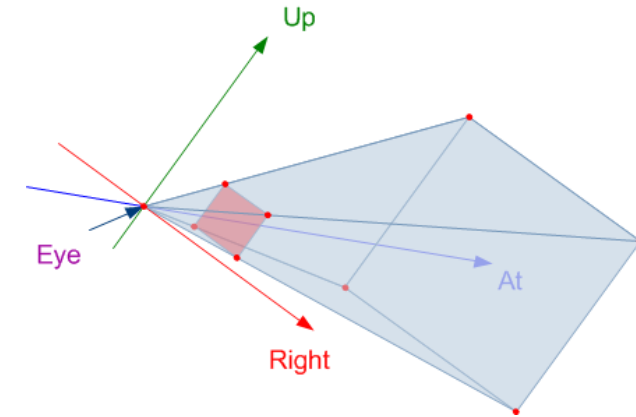
$$C = T \cdot R = \begin{pmatrix} r_{00} & r_{01} & r_{02} & t_x \\ r_{10} & r_{11} & r_{12} & t_y \\ r_{20} & r_{21} & r_{22} & t_z \\ 0 & 0 & 0 & 1 \end{pmatrix}$$

x (side)    y (up)    z (view)    O (pos.)

Oft haben Frameworks zur Berechnung von  $V$  eine Funktion *lookAt()*

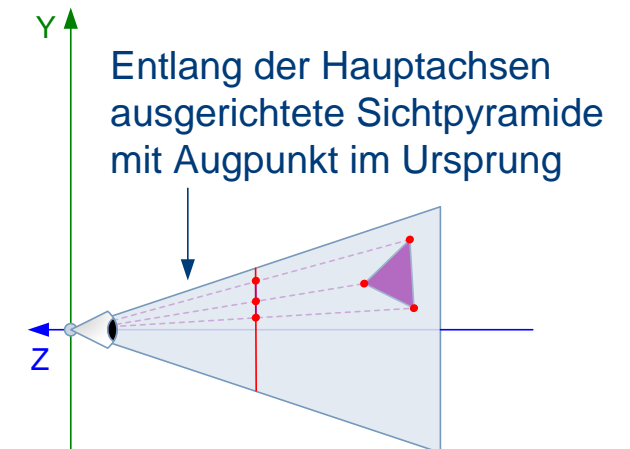
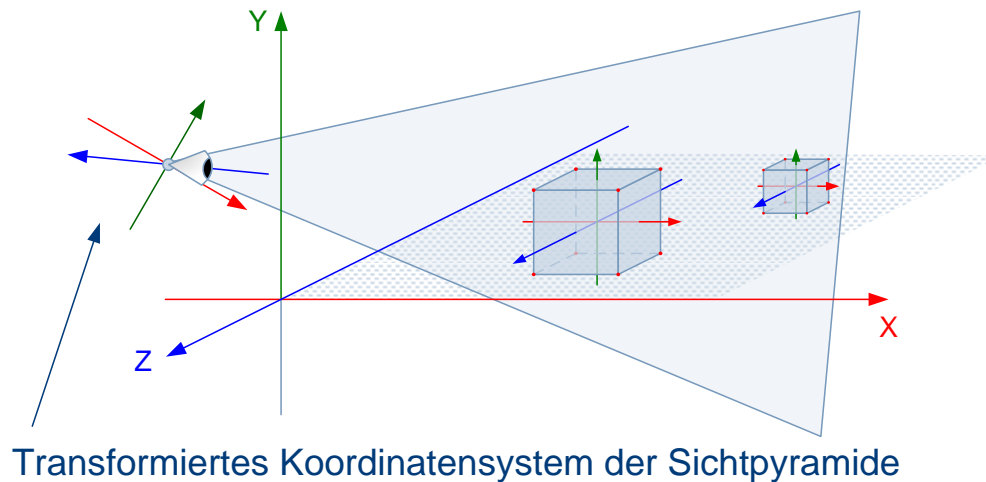
# Viewfrustum

- Sichtbereich durch Sichtpyramide (Viewfrustum) definiert
  - Die sechs eingrenzenden Flächen heißen Clipping Planes
    - Augpunkt (d.h. Kamera) liegt in Spitze der Sichtpyramide
    - Bereich zwischen Augpunkt und Projektionsfläche nicht sichtbar
- Definition der Sichtpyramide durch vier Parameter
  - Vertikaler Öffnungswinkel ( $fov$ ), Aspect Ratio sowie Abstand von Near und Far Clipping Plane



# Viewfrustum

- Abbildung der 3D-Objekte auf 2D-Projektionsfläche erforderlich
  - Berechnung der Schnittpunkte der Sehstrahlen mit Projektionsfläche
    - Sehstrahlen entsprechen Strecken zwischen Kameraursprung und Eckpunkten
  - Schnittbestimmung einfacher bei ausgerichtetem Viewfrustum
- Sichtpyramide so ausgerichtet, dass Spitze in Ursprung und Blickrichtung entlang negativer z-Achse liegt



# Perspektivische Wahrnehmung

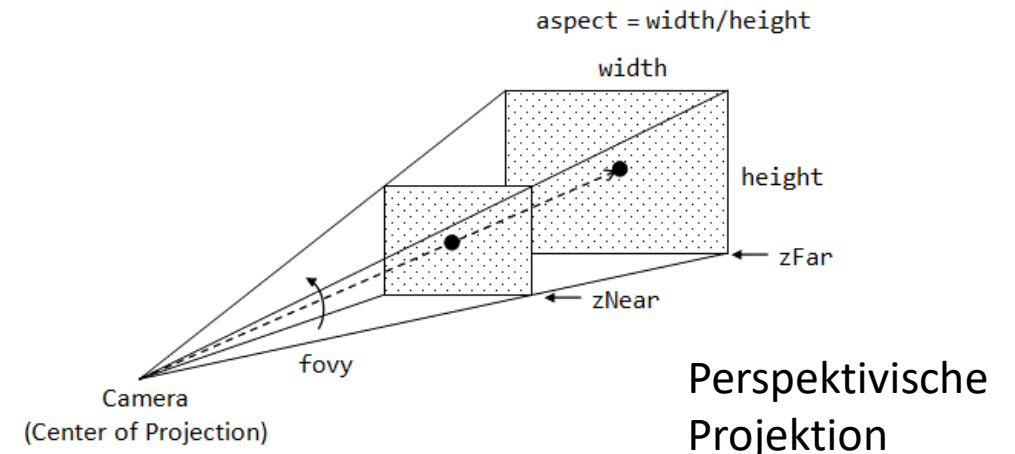
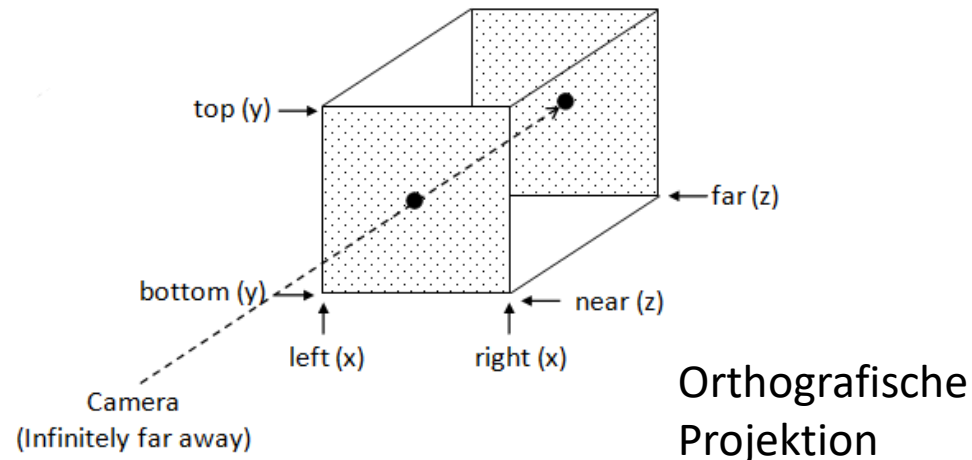
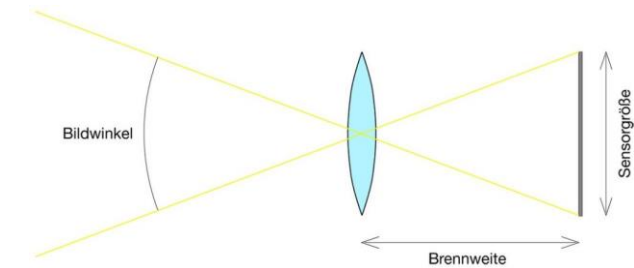
- Monokulare Raumwahrnehmung
  - Dazu zählen Perspektive, Verdeckung, Schatten und relative Größe
  - Je weiter hinten das Objekt ist, desto kleiner erscheint es uns
  - Wird diese Regel gebrochen, erhalten wir fehlerhafte Größeninformation
- Perspektivische Projektion
  - „Natürliche Darstellung“
  - Am meisten verwendete Projektionsart
  - Sehstrahlen treffen sich in Fluchtpunkt





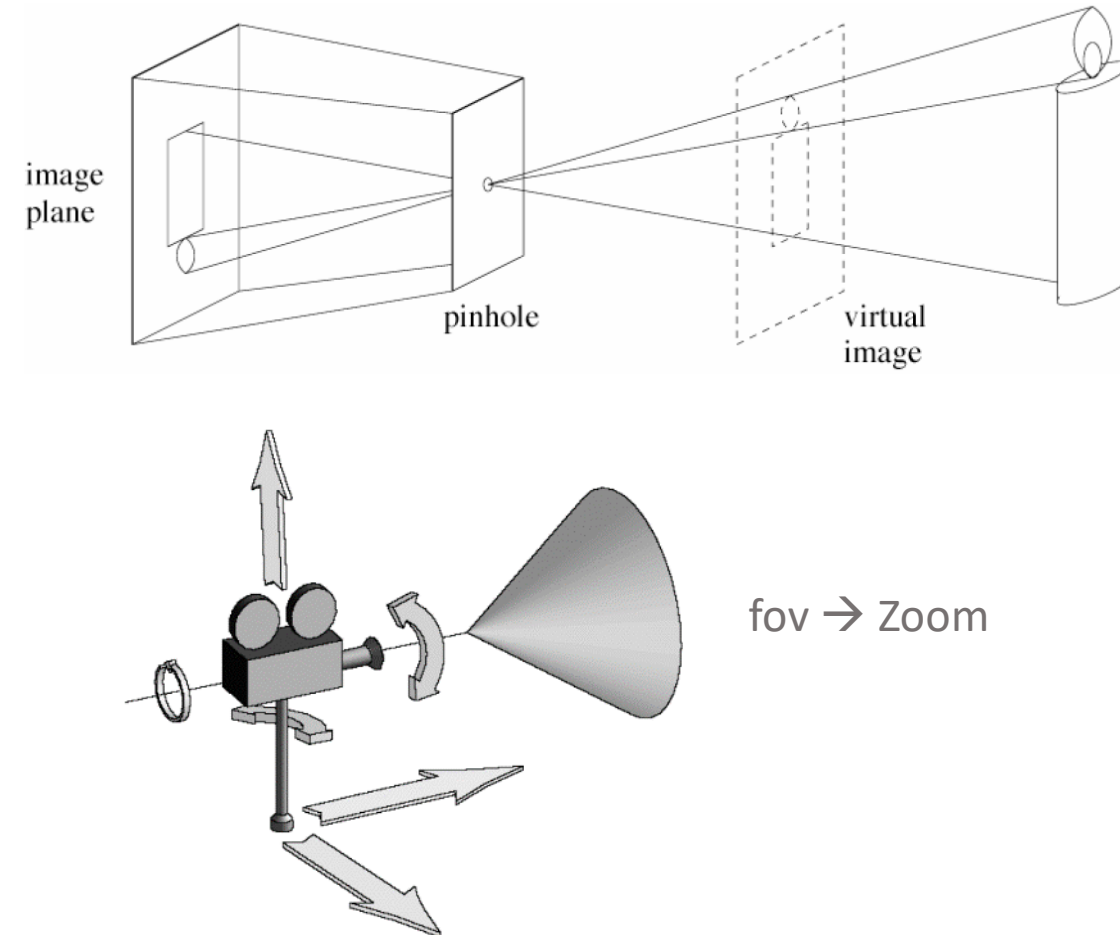
# Kameraparameter

- View-Matrix definiert *extrinsische* Kameraparameter (Position und Orientierung)
- Es fehlen noch die *intrinsischen* Parameter
  - Vereinfacht: Welcher Bereich der Szene soll dargestellt werden?
  - Bei echter Kamera entspräche das Öffnungswinkel und Brennweite
- Projektionsmöglichkeiten



# Kameramodell der Computergraphik

- Einfaches Lochkamera-Modell
  - Abbildung über Projektionsmatrix
- Projiziert 3D-Szene auf 2D-Bildebene
  - Modelliert perspektivische Projektion
  - Keine Tiefenschärfe, alles im Fokus
    - Da keine echte Linse sondern Lochblende
- Parameter (7 Freiheitsgrade):
  - Position (Projektionszentrum (cop))
  - Orientierung (Projektionsrichtung)
  - Öffnungswinkel (Field of View (fov))



# Abbildung auf Bildebene

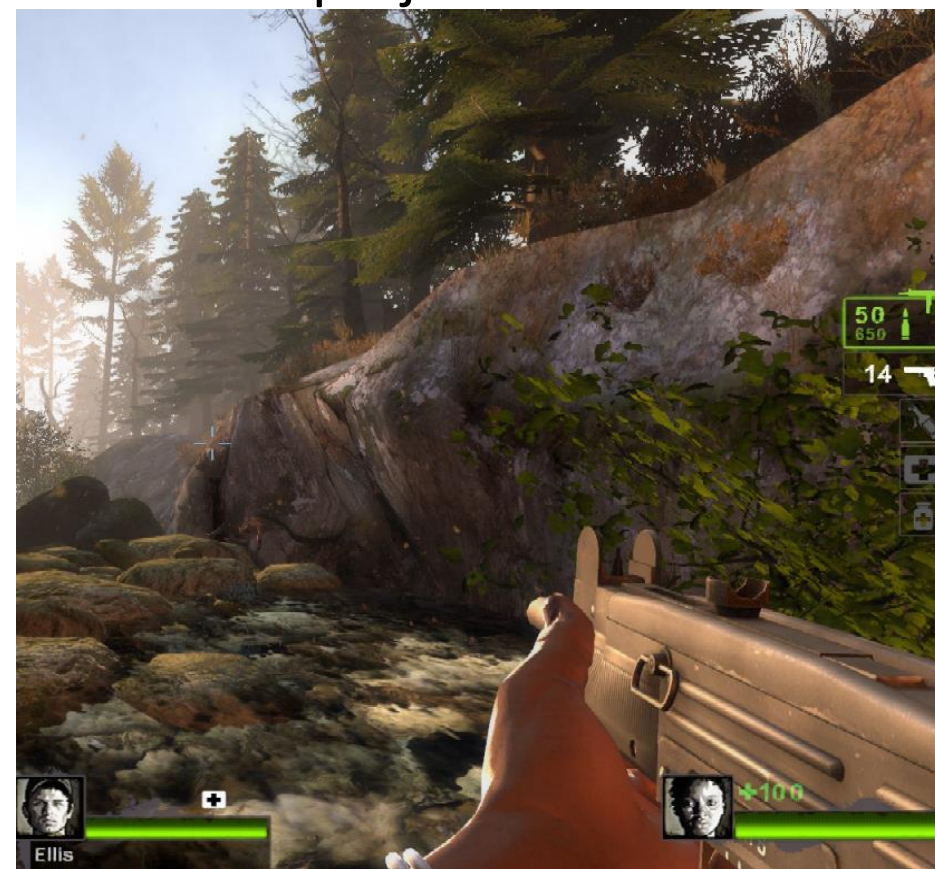
## Orthographische Projektion

### Parallelprojektion



## Perspektivische Projektion

### Zentralprojektion



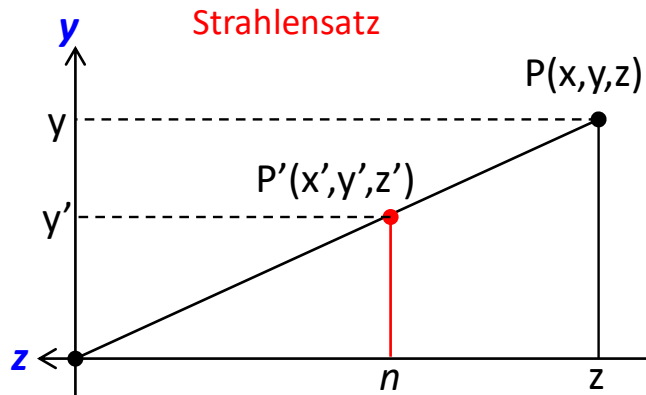
# Abbildung auf Bildebene (vereinfacht)

## Orthographische Projektion

Parallelprojektion

- Abbildung  $3D$  auf  $2D$

- Matrix: 
$$P_{Ortho} = \begin{pmatrix} 1 & 0 & 0 & 0 \\ 0 & 1 & 0 & 0 \\ 0 & 0 & 0 & 0 \\ 0 & 0 & 0 & 1 \end{pmatrix}$$



## Perspektivische Projektion

Zentralprojektion

- Abbildung  $3D$  auf  $2D$

- Matrix: 
$$P_{Persp} = \begin{pmatrix} 1 & 0 & 0 & 0 \\ 0 & 1 & 0 & 0 \\ 0 & 0 & 1 & 0 \\ 0 & 0 & 1/n & 0 \end{pmatrix}$$

- $\frac{y}{y'} = \frac{z}{z'} \Rightarrow y' = \frac{y}{z/n}$  analog für x

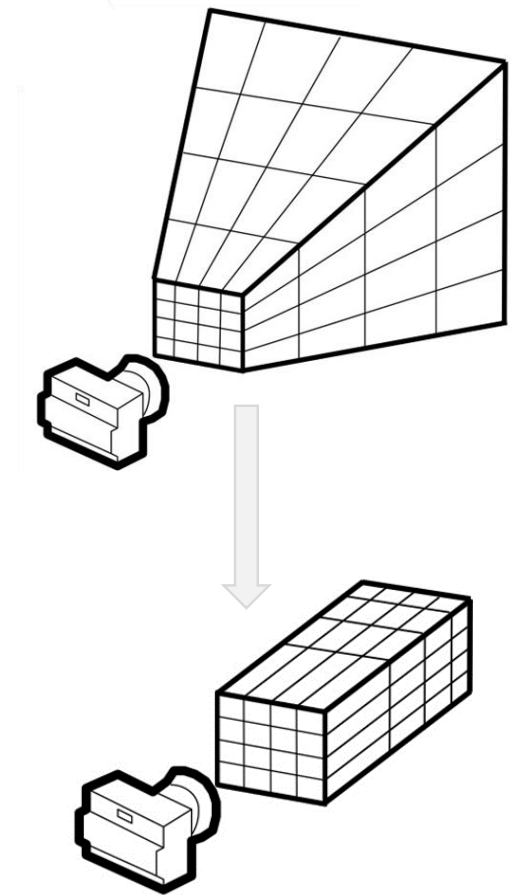
$$p' = \begin{pmatrix} 1 & 0 & 0 & 0 \\ 0 & 1 & 0 & 0 \\ 0 & 0 & 1 & 0 \\ 0 & 0 & 1/n & 0 \end{pmatrix} \begin{pmatrix} x \\ y \\ z \\ 1 \end{pmatrix} = \begin{pmatrix} x \\ y \\ z \\ z/n \end{pmatrix} \xrightarrow{\frac{1}{z/n}} \begin{pmatrix} n \cdot x / z \\ n \cdot y / z \\ n \\ 1 \end{pmatrix}$$



$$w_{Clip\ Space} = -z_{Eye\ Space}$$

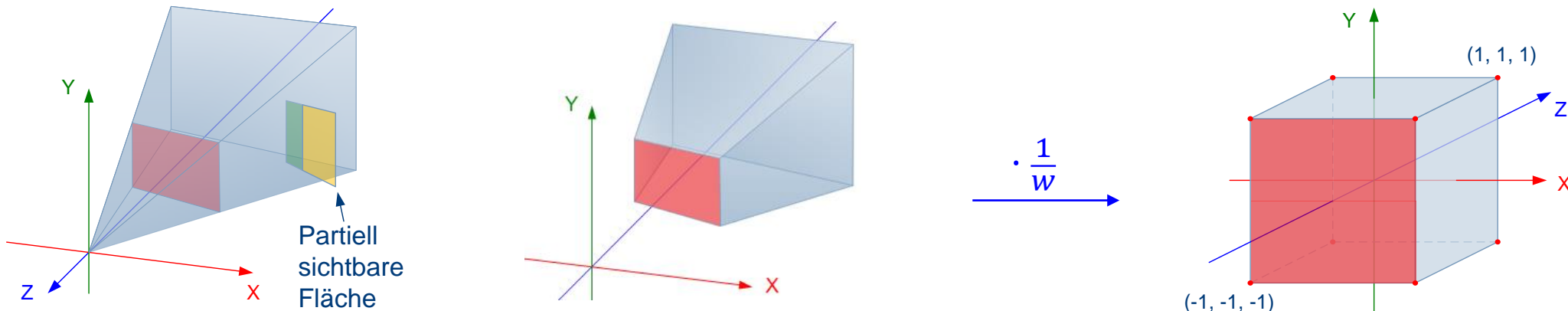
# Projektionsmatrix

- Bei vereinfachter Version geht z-Wert (Tiefe) verloren
- Projection Matrix  $P$   
(mit  $e = \frac{1}{\tan\left(\frac{\Theta}{2}\right)}$  und  $a = \frac{w}{h}$ ):  $P = \begin{pmatrix} e/a & 0 & 0 & 0 \\ 0 & e & 0 & 0 \\ 0 & 0 & \frac{n+f}{n-f} & \frac{2nf}{n-f} \\ 0 & 0 & -1 & 0 \end{pmatrix}$  (ohne Herleitung)
- Abbildung auf 2D-Projektionsfläche gemäß Strahlensatz
- Ergebnis abhängig vom z-Abstand eines Eckpunkts zur Kamera
  - Nichtlineare Skalierung der z-Koordinaten (vorne höhere Präzision)
  - Koordinaten auf Near Plane bleiben unverändert
- Transformation eines homogenen Punktes mit  $P$  ergibt Vektor, dessen w-Komponente ungleich 1 ist
  - Teilen durch w ergibt 3D-Punkt (vierte Dimension nun obsolet)



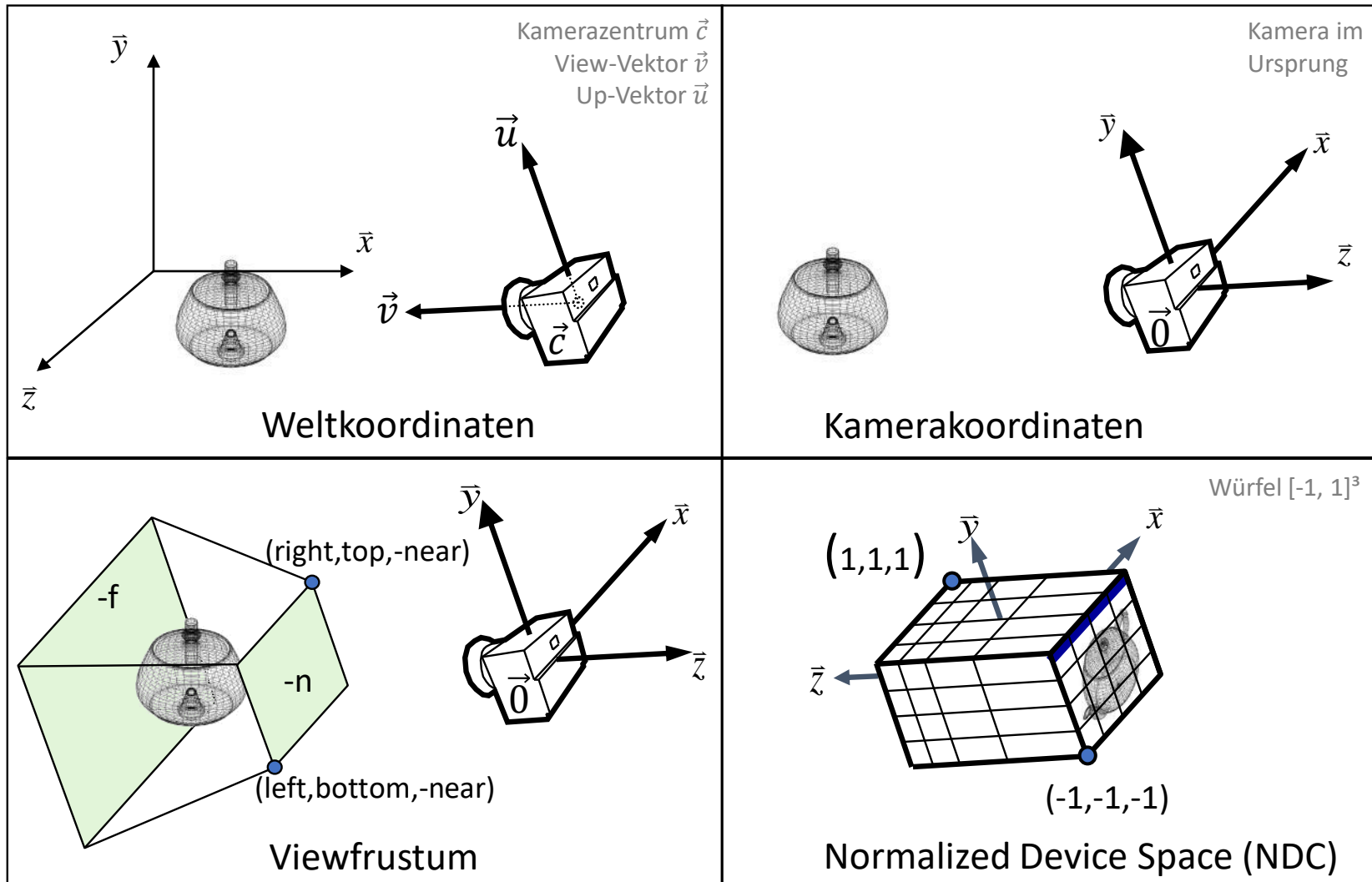
# Identifikation unsichtbarer Bereiche

- Clipping von Polygonen gegen 3D-Sichtpyramide aufwendig
  - Seitliche Clipping Planes nicht achsparallel, Inside-Tests nicht durch Vergleich möglich
  - Daher Transformation des Sichtbereiches in Würfel (Clip Space)
    - Eckpunkt  $P(x, y, z)$  sichtbar, wenn  $-w \leq x, y, z \leq w$
- Für Darstellung Übergang von rechts- zu linkshändigem Koordinatensystem
  - Dabei Transformation des Sichtbereiches in Einheitswürfel in Bereich  $[-1, 1]^3$
  - Geschieht durch perspektivische Division, d.h. Teilen durch  $w$ -Koordinate
    - Tiefe wächst damit bei zunehmendem  $z$ -Wert

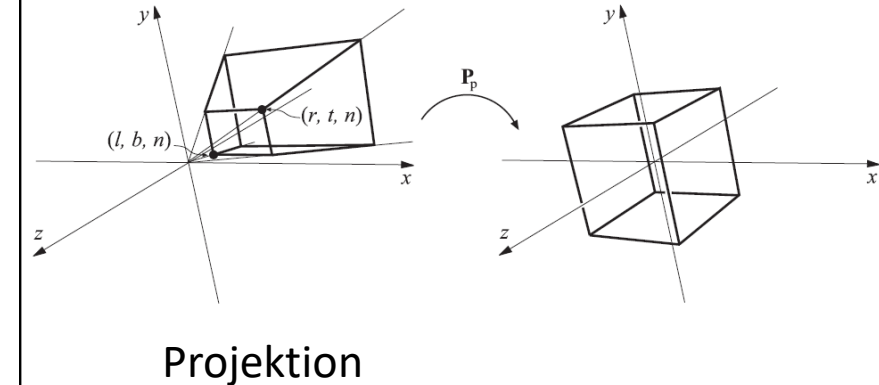
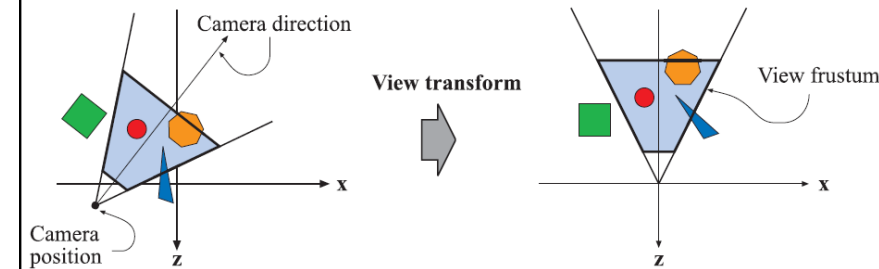




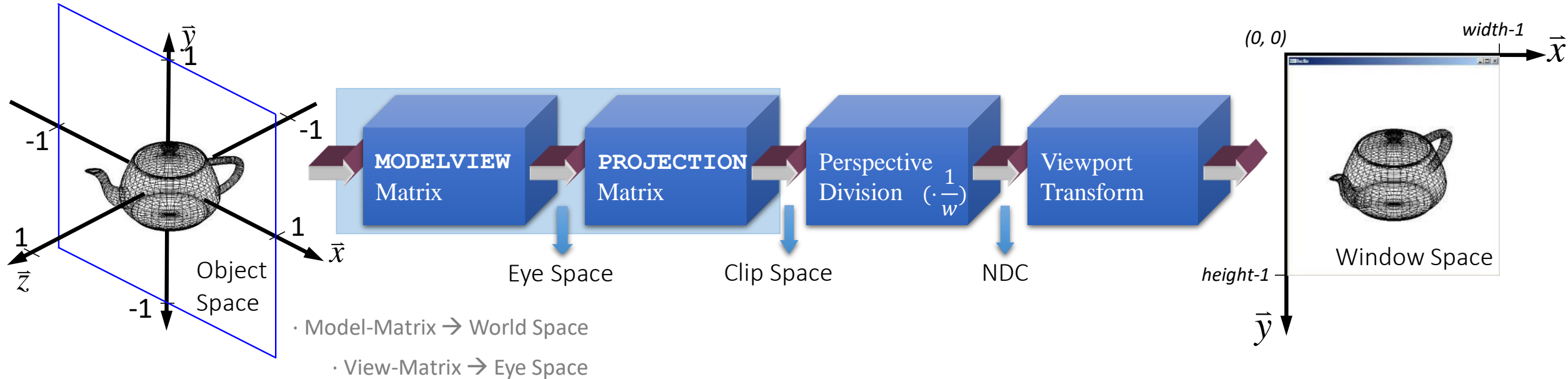
# Transformationspipeline



## Model-View-Transformation



# Viewport-Transformation

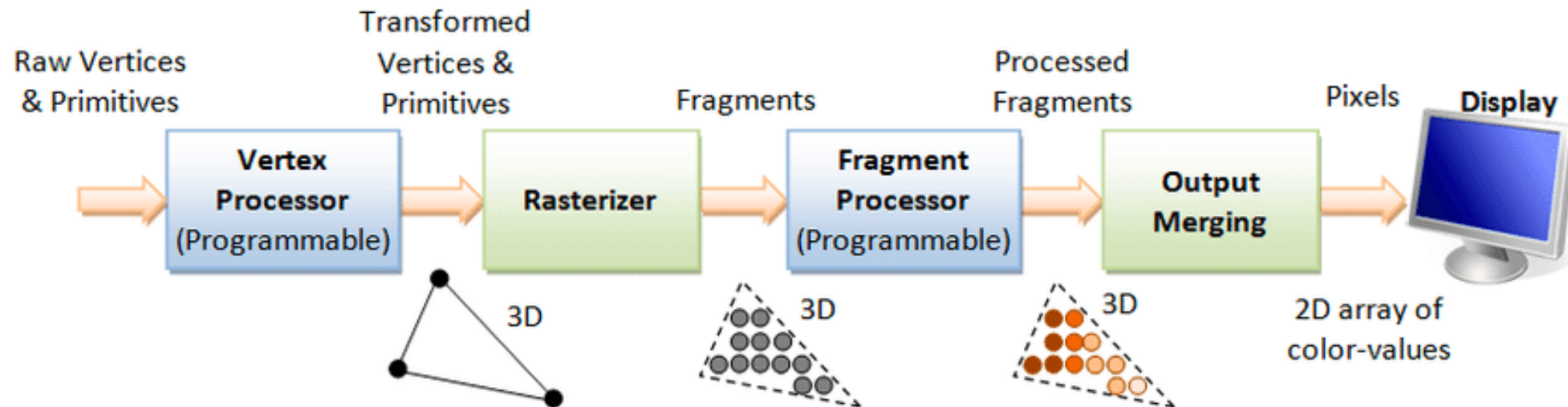


- Transformation der  $xy$ -Koordinaten des kanonischen Sichtvolumens (Normalized Device Space) aus Bereich  $[-1, 1] \times [-1, 1]$  in Pixelkoordinaten (Viewport) aus Bereich  $[0, width-1] \times [0, height-1]$
- Transformation der  $z$ -Koordinaten aus  $[-1, 1]$  in Bereich  $[0, 1]$  für Tiefenpuffer ( $\rightarrow$  Verdeckungen)

# GPU: Geometriestufe & Rasterisierung **h\_da**

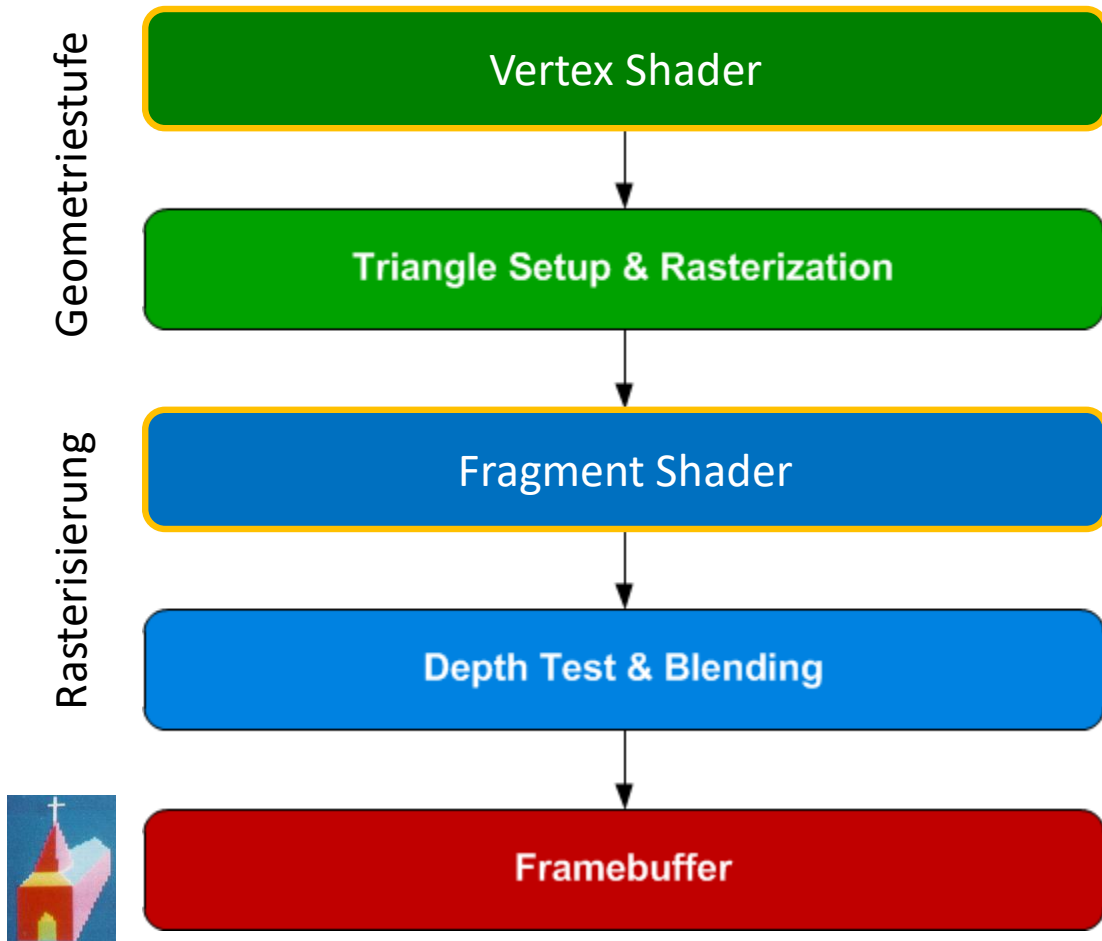
HOCHSCHULE DARMSTADT  
UNIVERSITY OF APPLIED SCIENCES

- Positionieren von 3D-Objekten in Szene durch Transformationen mit Integration der virtuellen Kamera sind die erste Schritte einer ganzen Kette von Berechnungen
  - Diese werden automatisch auf GPU ausgeführt oder können z.B. per OpenGL-Befehl aktiviert/deaktiviert werden
- Unterschied zwischen Fragment und Pixel: Fragment ist nur potentiell Pixel, d.h. Vorstufe dazu
  - Manchmal bilden mehrere Fragmente ein Pixel (Transparenz) und nicht alle Fragmente werden zum Pixel (Z-Buffer)



Bildquelle: [https://www.researchgate.net/publication/334129575\\_Efficient\\_Spatial\\_Anti-Aliasing\\_Rendering\\_for\\_Line\\_Joins\\_on\\_Vector\\_Maps](https://www.researchgate.net/publication/334129575_Efficient_Spatial_Anti-Aliasing_Rendering_for_Line_Joins_on_Vector_Maps)

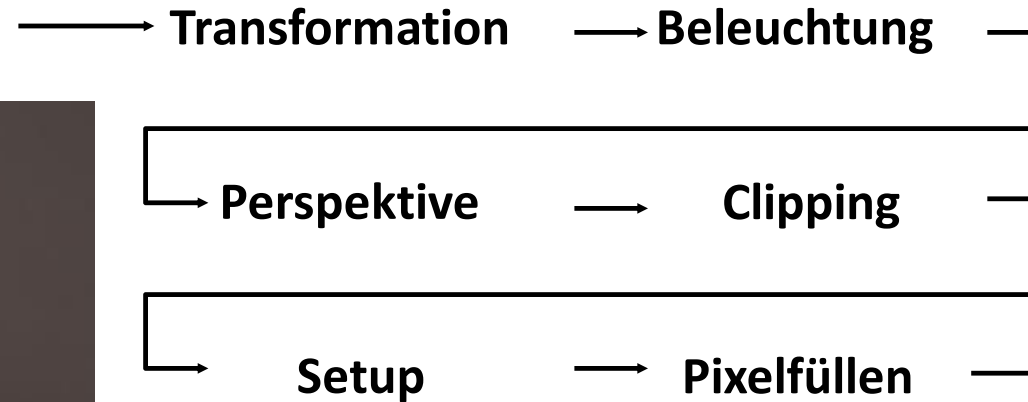
# Überblick: Vom Eckpunkt zum Bild



- Grafikkarteninterner Workflow wird vom Entwickler mit geeigneten Befehlen und Grafikdaten angestoßen
  - Grafikengines abstrahieren davon für einfachere Entwicklung
- Auf GPU hochgeladene Grafikdaten können vor Rendern noch manipuliert werden
  - Berechnungen pro Vertex bzw. Pixel parallel ausgeführt
  - Wird heutzutage in sog. Shadern implementiert: kleine Programme, die direkt auf GPU ausgeführt werden
- Jeder Shader hat hierbei eine genau definierte Aufgabe
  - Vertex Shader berechnet finale Position jedes Vertex im Bild
  - Fragment Shader berechnet Farbe jedes Pixels im Ausgabebild

# Rendering Pipeline (Fixed Function)

GPU-interner Workflow – muss vom  
Anwendungsentwickler mit passenden  
Grafikdaten je "befüttert" werden

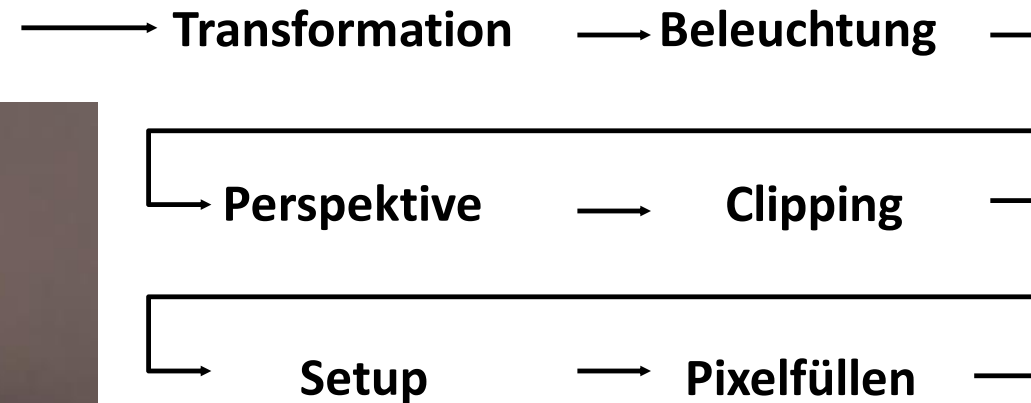


**Transformation, Beleuchtung, Projektion**  
**Clipping**  
**Triangle Setup**  
**Rasterisierung**  
**Farbe / Texturierung**  
**Stencil-, Tiefentest, Blending**

*Früher*

# Rendering Pipeline (Programmierbar)

GPU-interner Workflow – muss vom  
Anwendungsentwickler mit passenden  
Grafikdaten je "befüttert" werden



**Vertex-Shader**

**Clipping**

**Triangle Setup**

**Rasterisierung**

**Fragment-Shader**

**Stencil-, Tiefentest, Blending**

→ Anweisungen zur  
Eckpunkttransformation

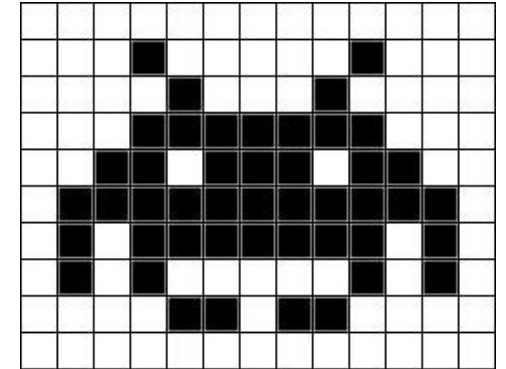
→ Anweisungen zur  
Farbgebung eines Pixels

**heute**



# Recap: Rasterisierungsansatz

```
for each 3d object:  
    frustum culling  
    (occlusion culling)  
    transform into clip space  
    backface-cull, clip  
    homogeneous divide  
    find out which pixels are covered (i.e., rasterize)  
    for each covered pixel:  
        compute color  
        depth-test, alpha-test, etc.  
        blend pixel value with previous value
```



# Vielen Dank!

# Noch Fragen?

